

У статті розглянуто питання про розробку математичної моделі процесу твердофазного екстрагування. Проблема сформульована виходячи з уявлень про лімітуючу роль в цьому процесі дифузійного механізму перенесення цільових компонентів в анізотропних капілярно-пористих твердих тілах з урахуванням нелінійної залежності швидкості від концентрації

Ключові слова: коефіцієнт дифузії, анізотропне екстрагування, концентрація

В статье рассмотрен вопрос о разработке математической модели процесса твердофазного экстрагирования. Проблема сформулирована исходя из представлений о лимитирующей роли в этом процессе диффузионного механизма переноса целевых компонентов в анизотропных капиллярно-пористых твердых телах с учетом нелинейной зависимости скорости от концентрации

Ключевые слова: коэффициент диффузии, анизотропное экстрагирование, концентрация

This article describes the development of a mathematical model of solid-phase extraction. The problem is formulated based on the concepts of rate-limiting role in this process, the diffusion mechanism of transfer target components in the anisotropic capillary-porous solids, taking into account the nonlinear dependence of rate on concentration

Keywords: diffusion coefficient, anisotropic extraction, concentration

МАТЕМАТИЧЕСКАЯ МОДЕЛЬ НЕСТАЦИОНАРНОЙ ДИФфуЗИИ В АНИЗОТРОПНОМ ТВЕРДОМ ТЕЛЕ

М. В. Ненько

Кандидат технических наук, доцент
Кафедра машин и аппаратов химических
производств*
Контактный тел.: (06453) 5-98-30

В. В. Гончаров

Ассистент
Кафедра общей физики и технической механики
*Институт химических технологий
Восточноукраинского национального университета
им. Владимира Даля
ул. Ленина, 31, г. Рубежное, Луганская обл.,
Украина, 93009
Контактный тел.: 050-623-71-78
E-mail: gonch_vit@rambler.ru

1. Введение

Исследования, о которых идет речь в статье, относятся к процессам и аппаратам химической технологии. В известных из литературы диффузионных моделях [1-3] используются линейные градиентные законы переноса массы (например, закон Фика), надежность которых ограничивается следующими основными условиями: 1) диффузия квазистационарна в масштабе поры или капилляра твердой фазы и 2) скорости массопереноса на границе твердой и жидкой фаз линейно зависят от концентрации целевого компонента. Учесть влияние структуры твердой фазы на диффузионный поток можно с помощью метода пространственного осреднения концентраций, который широко применяется в фильтрационных процессах. Однако в некоторых случаях для получения кинетических закономерностей необходимо учитывать существенное изменение физических свойств (плотности, вязкости, коэффициента диффузии) по толщине диффузионного слоя, что приводит к более сложным зависимостям скорости массопереноса от концентрации.

В настоящей работе сделана попытка перейти к нелінійній теорії масопереносу в анізотропному твердому тілі применительно к процессу диффузионного

извлечения концентрированных растворов сахаров из гидролизованной древесины. Известно, что диффузионные свойства образца древесины (щепы) зависят от направления диффузионных потоков по отношению к расположению волокон, составляющих капиллярную структуру [4].

2. Экспериментальная часть

Построение модели заключается в описании изменения во времени массового содержания (по извлекаемому веществу) частиц твердой фазы и связанного с ним изменения концентрации извлекаемого вещества в экстрагенте, окружающего их, т.е. в установлении закономерности изменений во времени суммарного диффузионного потока целевого компонента через поверхность отдельной частицы твердой фазы и обобщения этой закономерности для множества частиц, участвующих в реальном процессе экстрагирования.

Модель построена по аналогии с опубликованной ранее [3]. В прямолинейной системе координат (x_1 , x_2 , x_3), связанной с призматическим образцом (частицей) и ориентированной в направлении его ребер, без-

размерную концентрацию сахаров можно выразить уравнением

$$b(x_1, x_2, x_3, \tau) = \frac{c_t(x_1, x_2, x_3, \tau) - c_p}{c_{t0} - c_p}, \quad (1)$$

где τ - время, c_{m0} и c_m - начальная и текущая концентрации целевого компонента в твердой фазе, c_p - равновесная концентрация.

Предполагая нелинейную (в отличие от литературной [3]) зависимость концентрации сахаров в образце (см. рисунок 1) от местной координаты, можно записать

$$b_i = \begin{cases} \left[1 - \frac{x_i}{\delta_i(\tau)} \right]^f & \text{при } x_i < \delta_i(\tau) \text{ и } \tau > 0, \\ 1 & \text{при } x_i \geq \delta_i(\tau) \text{ и } \tau > 0, \\ 1 & \text{при } x_i > 0 \text{ и } \tau = 0, \end{cases} \quad (2)$$

где f - некоторое положительное число (дробное или целое);

δ - глубина проникновения, характеризующая профиль концентрации для каждого момента времени (эта глубина возрастает со временем).

Описание диффузионного процесса извлечения при допущении того, что концентрация целевого компонента на поверхности образца постоянна и равна равновесной (в течение всего процесса), будет иметь вид:

$$\frac{\partial c_t(\vec{r}, \tau)}{\partial \tau} = -\text{div}[\bar{D} \text{grad} c_m(\vec{r}, \tau)], \quad (3)$$

$$c_t(x_1, x_2, x_3, 0) = c_{t0}, c_{ж0} \text{ для } \tau = 0,$$

где $c_{ж0}$ - начальная концентрация целевого компонента во внешнем экстрагенте;

D - эффективный коэффициент диффузии, представляющий собой произведение коэффициента молекулярной диффузии и безразмерной внутренней проводимости твердой пористой фазы, который является симметричным тензором второго порядка;

\vec{r} - радиус-вектор.

Интегрируя уравнение (3) по объему внутреннего раствора, содержащегося в твердой частице, и применив к интегралу справа теорему Остроградского, получим

$$\int_{\alpha V_n} \frac{\partial c_t}{\partial \tau} dV = - \int_{S_n} \bar{n} \cdot \bar{D}, \quad (4)$$

где \bar{n} - нормаль к поверхности грани;

S_n - площадь поверхности призматического образца, доступного для массообмена, равная

$$S_n = \sum_{i=1}^3 \alpha_i S_i, \quad \alpha_i = \begin{cases} \alpha, & i=1 \\ 1, & i=2,3 \end{cases} \quad (5)$$

В координатах x_i , используя выражение (5) и отметив, что $D_{ij} = 0$, а $D_{ii} = D_i$, уравнение (4) можно записать

$$\int_{\alpha V_n} \frac{\partial c_m}{\partial \tau} dV = - \sum_{i=1}^3 D_i \int_{\alpha_i S_i} \left. \frac{\partial c_m}{\partial x_i} \right|_{x_i=0} dS_i, \quad (6)$$

где $V_n = l_1 l_2 l_3 = \prod_{i=1}^3 l_i$ - объем подобласти призматического образца щепы (см. рис. 1), соприкасающейся с

внешним раствором по поверхности граней $S_i = l_j l_k$ ($i, j, k = 1, 2, 3$; $i \neq j \neq k$).

Причем S_1 - поверхность грани, нормальной по отношению к направлению древесных волокон; S_2 и S_3 - поверхности граней проницаемые диффузионными потоками меньшей интенсивности; α - доля поверхности грани, пропорциональная доле объема образца, заполненного раствором целевого компонента.

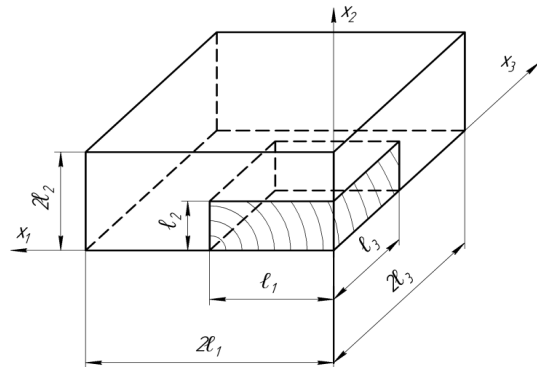


Рис. 1. Образец и координатная система

С учетом уравнения (1) можно записать

$$\frac{\partial c_m}{\partial \tau} = \Delta \frac{\partial}{\partial \tau} b = \Delta \frac{\partial}{\partial \tau} \prod_{i=1}^3 b_i(x_i, \tau) = \Delta \sum_{i=1}^3 b_j b_k \frac{\partial b_i}{\partial \tau}, \quad (7)$$

где $\Delta = c_{t0} - c_p$, $i \neq j \neq k$.

Дифференцируя выражение (2), получим

$$\frac{\partial b_i}{\partial \tau} = \begin{cases} f \left[\frac{x_i}{\delta_i(\tau)} \right]^{f-1} \frac{x_i}{\delta_i^2} \frac{d\delta_i}{d\tau} & \text{при } x_i < \delta_i(\tau) \text{ и } \tau > 0, \\ 0 & \text{при } x_i \geq \delta_i(\tau) \text{ и } \tau > 0, \\ 0 & \text{при } x_i > 0 \text{ и } \tau = 0, \end{cases} \quad (8)$$

Далее

$$\frac{\partial c_m}{\partial x_i} = \Delta \frac{\partial}{\partial x_i} b = \Delta \sum_{i=1}^3 b_j b_k \frac{\partial b_i}{\partial x_i}, \quad (9)$$

где $i \neq j \neq k$.

Уравнение (8) справедливо для всех моментов времени, кроме $\tau = 0$, когда в совокупности точек $(0, x_j, x_k)$ имеет место скачок концентрации:

$$\left. \frac{\partial b_i}{\partial x_i} \right|_{x_i=0} = -\frac{f}{\delta_i(\tau)}, \tau > 0 \quad (10)$$

Тогда правая часть уравнения (6) после преобразований будет иметь вид:

$$\begin{aligned} \int_{\alpha V_n} \frac{\partial c_m}{\partial \tau} dV &= \alpha \Delta \int_{V_n} \sum_{i=1}^3 b_j b_k \frac{\partial b_i}{\partial \tau} dV = \\ &= \alpha \Delta \sum_{i=1}^3 \int_{V_n} b_j b_k \frac{\partial b_i}{\partial \tau} dV = \alpha \Delta \sum_{i=1}^3 I \end{aligned} \quad (11)$$

Для определения суммарного диффузионного потока через поверхности граней призматического образца щепы с размерами ребер l_1, l_2 и l_3 вычислим интеграл I в виде суммы частных интегралов с учетом деления образца на подобласти, представляющие собой (поочередно): зону совместного возмущения всех трех составляющих диффузионного потока; зону, соответствующую действию двух составляющих диффузионного потока; зону возмущения под воздействием одной составляющей; зону совсем невозмущенную.

Итак, частные интегралы примут вид:

$$\begin{aligned} I_1 &= \int_0^{\delta_k} \int_0^{\delta_j} \int_0^{\delta_i} \left(1 - \frac{x_k}{\delta_k}\right)^f \left(1 - \frac{x_j}{\delta_j}\right)^f \cdot f \left(1 - \frac{x_i}{\delta_i}\right)^{f-1} \cdot \frac{x_i}{\delta_i^2} \cdot \frac{d\delta_i}{d\tau} dx_i dx_j dx_k = \\ &= \delta_k \delta_j \frac{d\delta_i}{d\tau} \left[\frac{f}{2(f+1)^2} - \frac{f(f-1)}{3(f+1)^2} + \frac{f(f-1)(f-2)}{1 \cdot 2 \cdot 4(f+1)^2} - \dots \right] = \\ &= \delta_k \delta_j \frac{d\delta_i}{d\tau} \cdot \frac{f}{(f+1)^2} \left(\frac{1}{2} - \frac{1}{3} c_{f-1}^1 + \frac{1}{8} c_{f-1}^2 - \dots \right), \end{aligned}$$

где c_{f-1}^n – число сочетаний

$$c_{f-1}^1 = \frac{(f-1)(f-2)\dots(f-n)}{1 \cdot 2 \cdot \dots \cdot n}.$$

$$\begin{aligned} I_2 &= \int_0^{\delta_k} \int_0^{\delta_j} \int_0^{\delta_i} 1 \left(1 - \frac{x_j}{\delta_j}\right)^f \cdot f \left(1 - \frac{x_i}{\delta_i}\right)^{f-1} \cdot \frac{x_i}{\delta_i^2} \cdot \frac{d\delta_i}{d\tau} dx_i dx_j dx_k = \\ &= (l_k - \delta_k) \delta_j \frac{d\delta_i}{d\tau} \left[\frac{f}{2(f+1)} - \frac{f(f-1)}{3(f+1)} + \frac{f(f-1)(f-2)}{1 \cdot 2 \cdot 4(f+1)} - \dots \right] = \\ &= (l_k - \delta_k) \delta_j \frac{d\delta_i}{d\tau} \cdot \frac{f}{f+1} - \left(\frac{1}{2} - \frac{1}{3} c_{f-1}^1 + \frac{1}{8} c_{f-1}^2 - \dots \right), \end{aligned}$$

$$\begin{aligned} I_3 &= \int_0^{\delta_k} \int_0^{\delta_j} \int_0^{\delta_i} \left(1 - \frac{x_k}{\delta_k}\right)^f \cdot 1 \cdot f \left(1 - \frac{x_i}{\delta_i}\right)^{f-1} \cdot \frac{x_i}{\delta_i^2} \cdot \frac{d\delta_i}{d\tau} dx_i dx_j dx_k = \\ &= (l_j - \delta_j) \delta_k \frac{d\delta_i}{d\tau} \left[\frac{f}{2(f+1)} - \frac{f(f-1)}{3(f+1)} + \frac{f(f-1)(f-2)}{1 \cdot 2 \cdot 4(f+1)} - \dots \right] = \\ &= (l_j - \delta_j) \delta_k \frac{d\delta_i}{d\tau} \cdot \frac{f}{f+1} - \left(\frac{1}{2} - \frac{1}{3} c_{f-1}^1 + \frac{1}{8} c_{f-1}^2 - \dots \right), \end{aligned}$$

$$\begin{aligned} I_5 &= \int_0^{\delta_k} \int_0^{\delta_j} \int_0^{\delta_i} \left(1 - \frac{x_i}{\delta_i}\right)^{f-1} \cdot \frac{x_i}{\delta_i^2} \cdot \frac{d\delta_i}{d\tau} dx_i dx_j dx_k = \\ &= (l_k - \delta_k)(l_j - \delta_j) \frac{d\delta_i}{d\tau} \left[\frac{f}{2} - \frac{f(f-1)}{3} + \frac{f(f-1)(f-2)}{8} \right] = \\ &= (l_k - \delta_k)(l_j - \delta_j) \frac{d\delta_i}{d\tau} \cdot f \left(\frac{1}{2} - \frac{1}{3} c_{f-1}^1 + \frac{1}{8} c_{f-1}^2 - \dots \right). \end{aligned}$$

Интегралы I_4, I_6, I_7 и I_8 равны 0, так как $\left. \frac{\partial b_i}{\partial \tau} \right|_{x_i=0} = 0$ для

$\delta_i \leq x_i \leq l_i$. Отсюда

$$\begin{aligned} I &= I_1 + I_2 + I_3 + I_5 = \delta_k \delta_j \left[\frac{f}{2(f+1)^2} - \frac{f(f-1)}{3(f+1)^2} + \frac{f(f-1)(f-2)}{8(f+1)^2} - \dots \right] + \\ &+ (l_k - \delta_k) \delta_j \left[\frac{f}{2(f+1)} - \frac{f(f+1)}{3(f+1)} + \frac{f(f-1)(f-2)}{8(f+1)} - \dots \right] + \\ &+ (l_j - \delta_j) \delta_k \left[\frac{f}{2(f+1)} - \frac{f(f-1)}{3(f+1)} + \frac{f(f-1)(f-2)}{8(f+1)} - \dots \right] + \\ &+ (l_k - \delta_k)(l_j - \delta_j) \left[\frac{f}{2} - \frac{f(f-1)}{3} + \frac{f(f-1)(f-2)}{8} - \dots \right] = \\ &= \left[\frac{1}{2} - \frac{f-1}{3} + \frac{(f-1)(f-2)}{1 \cdot 2 \cdot 4} - \dots \right] f \left(\delta_k \frac{f}{f+1} - l_k \right) \left(\delta_j \frac{f}{f+1} - l_j \right) = \\ &= \left(\delta_k \frac{f}{f+1} - l_k \right) \left(\delta_j \frac{f}{f+1} - l_j \right) f \left(\frac{1}{2} - \frac{1}{3} c_{f-1}^1 + \frac{1}{8} c_{f-1}^2 - \dots \right). \end{aligned}$$

Подставляя выражения для частных интегралов в уравнение (11), получим

$$\int_{\alpha V_n} \frac{\partial c_m}{\partial \tau} dV = \alpha \Delta f \left(\frac{1}{2} - \frac{1}{3} c_{f-1}^1 + \frac{1}{8} c_{f-1}^2 - \dots \right) \sum_{i=1}^3 \Phi_{kj} \frac{d\delta_i}{d\tau}, \quad i \neq j \neq k \quad (12)$$

где

$$\Phi_{kj} = (l_k - \delta_k \frac{f}{f+1})(l_j - \delta_j \frac{f}{f+1}). \quad (13)$$

Аналогично поступая с правой частью уравнения (6), производим интегрирование по площади контакта твердой частицы и внешнего раствора

$$\begin{aligned} - \int_{\alpha S_i} \left. \frac{\partial c_m}{\partial x_i} \right|_{x_i=0} dS_i &= \\ &= -\alpha_i \int_{S_i} \left. \frac{\partial c_m}{\partial x_i} \right|_{x_i=0} dS_i = \Delta \sum_{i=1}^3 \alpha_i \int_{S_i} b_j b_k \left. \frac{\partial b_i}{\partial x_i} \right|_{x_i=0} dS_i = \\ &= -\Delta \sum_{i=1}^3 \alpha_i I^*, \end{aligned} \quad (14)$$

где $dS_i = dx_j dx_k$;

$$\alpha_i \begin{cases} \alpha, & i=1; \\ 1, & i=2; \\ 1, & i=3. \end{cases} \quad (15)$$

Вычислим интеграл I^* в виде суммы частных интегралов

$$I_1^* = \int_0^{\delta_k} \int_0^{\delta_j} \left(1 - \frac{x_k}{\delta_k}\right)^f \left(1 - \frac{x_j}{\delta_j}\right)^f \left(-\frac{f}{\delta_i(\tau)}\right) dx_j dx_k = \frac{\delta_k \delta_j}{(f+1)^2} \cdot \frac{f}{\delta_i},$$

$$I_2^* = \int_0^{\delta_k} \int_0^{\delta_j} 1 \cdot \left(1 - \frac{x_j}{\delta_j}\right)^f \left(-\frac{f}{\delta_i(\tau)}\right) dx_j dx_k = (l_k - \delta_k) \frac{\delta_j}{f+1} \cdot \frac{(-f)}{\delta_i},$$

$$I_3^* = \int_0^{\delta_k} \int_0^{\delta_j} (1 - \frac{x_k}{\delta_k})^f \cdot 1 \cdot (\frac{-f}{\delta_i}) dx_j dx_k = (1_j - \delta_j) \frac{\delta_k}{f+1} \cdot \frac{(-f)}{\delta_i},$$

$$I_5^* = \int_0^{\delta_k} \int_0^{\delta_j} 1 \cdot 1 \cdot (\frac{-f}{\delta_i}) dx_j dx_k = (1_k - \delta_k)(1_j - \delta_j) \frac{(-f)}{\delta_i}.$$

Отсюда

$$I^* = I_1^* + I_2^* + I_3^* + I_5^* =$$

$$= \frac{(-f)}{\delta_i} [\frac{\delta_k \delta_j}{(f+1)^2} + (1_k - \delta_k) \frac{\delta_j}{f+1} + (1_j - \delta_j) \frac{\delta_k}{f+1} + (1_k - \delta_k)(1_j - \delta_j)] =$$

$$= -\frac{f}{\delta_i} (1_k - \delta_k \frac{f}{f+1})(1_j - \delta_j \frac{f}{f+1}).$$

Таким образом

$$- \int_{\alpha_i S_i} \frac{\partial c_m}{\partial x_i} \Big|_{x_i=0} dS_i = \Delta f \sum_{i=1}^3 \alpha_i D_i \Phi_{kj} \frac{1}{\delta_i} \tag{16}$$

Приравнявая правые части уравнений (12) и (16), получим

$$\alpha \Delta f (\frac{1}{2} - \frac{1}{3} c_{f-1}^1 + \frac{1}{8} c_{f-1}^2 - \dots) \sum_{i=1}^3 \Phi_{kj} \frac{d\delta_i}{d\tau} = \Delta f \sum_{i=1}^3 \alpha_i D_i \Phi_{kj} \frac{1}{\delta_i} \tag{17}$$

Ввиду симметричности этого уравнения можем записать

$$\alpha (\frac{1}{2} - \frac{1}{3} c_{f-1}^1 + \frac{1}{8} c_{f-1}^2 - \dots) \frac{d\delta_i}{d\tau} = \alpha_i D_i \frac{1}{\delta_i} . \tag{18}$$

Решая уравнение (18), находим

$$\delta_i = \sqrt{\frac{2\alpha_i D_i \tau}{\alpha (\frac{1}{2} - \frac{1}{3} c_{f-1}^1 + \frac{1}{4} c_{f-1}^2 - \dots)}}, \quad i = 1, 2, 3 \tag{19}$$

Результирующий диффузионный поток через поверхность призматического образца с учетом уравнения (16) будет иметь вид:

$$j(\tau) = \sum_{i=1}^3 D_i \int_{\alpha_i S_i} \frac{\partial c_m}{\partial x_i} \Big|_{x_i=0} dS_i = \Delta f \sum_{i=1}^3 \alpha_i D_i \Phi_{jk} \frac{1}{\delta_k} \tag{20}$$

При расчете процесса экстрагирования по предложенной модели показатель степени f определяется в зависимости от физических свойств жидкой среды в твердой фазе (в частности, от вязкости), капиллярной структуры твердой фазы и т.п. Для известной величины f определяют по уравнению материального баланса средние концентрации целевого компонента в жидкой и твердой фазах по формулам

$$\langle c_{\tau} \rangle = \langle c_{\tau 0} \rangle - \frac{1}{\alpha V_n} \int_0^{\tau} j(\tau) d\tau, \tag{21}$$

$$\langle c_{ж}(\tau) \rangle = \langle c_{ж 0} \rangle + \frac{1}{A_n V} \int_0^{\tau} j(\tau) d\tau, \tag{22}$$

где $V_{ж}$ – удельный объем внешнего раствора, отнесенный к единице проницаемой для диффузии доли площади внешней поверхности образца;

A_n – общая площадь поверхности образца, доступная для массообмена.

4. Вывод

Предложенная математическая модель более точно описывает реальный процесс массопереноса (по сравнению с известными моделями) в твердом призматическом образце с анизотропными свойствами в зависимости от направления диффузионных потоков. Большая точность модели достигается благодаря учету нелинейности распределения концентраций сахаров в образце.

5. Литература

1. Аксельруд, Г. А. Массообмен в системе твердое тело-жидкость [Текст] / Г. А. Аксельруд. – Львов: Изд. Львовского гос. унив.-та, 1970. – 186 с.
2. Лысянский, В. М. Процесс экстракции сахара из свеклы [Текст] / В. М. Лысянский. – М.: Пищ. пром-сть, 1973. – 224 с.
3. Риц, В. А. Исследование процесса экстрагирования из твердой фазы применительно к гидролизному производству микробиологической промышленности [Текст] : дис. ... канд. техн. наук / В. А. Риц. – Л., 1976. – 170 с.
4. Ненько, М. В. Математична модель нестационарного анизотропного твердофазного экстрагування [Текст] / М. В. Ненько, В. В. Гончаров // Хімічна промисловість України. – 2011. – №1(102) – С. 10 – 13.